



INTERNATIONAL ATOMIC ENERGY AGENCY UNITED NATIONS EDUCATIONAL, SCIENTIFIC AND CULTURAL ORGANIZATION



INTERNATIONAL CENTRE FOR THEORETICAL PHYSICS 34100 TRIESTE (ITALY) - P.O. B. 586 - MIRAMARE - STRADA CONTIERA 11 - TELEPHONE: 2240-1 CABLE: CENTRATOM - TELEX 460392-1

H4.SMR/193 - 48

"COLLQUE INTERNATIONAL SUR LA SCIENCE DES MATERIAUX POUR L'ENERGIE".

(26 août - 11 septembre 1986).

"INFLUENCE DU CARBONE SUR LES PROPRIETES ELECTRIQUES DE SILICIUM POLYCRISTALLIN C.G.E.".

L. Ammor H. Amzil S. Martinuzzi Université d'Aix-Marseille III Marseille, France

Ces notes de recherche provisiores, sont destinées aux participants. Eventuellement, d'autres copies seront disponibles au bureau 231.

<u>Influence du carbone sur les propriétés électriques</u> <u>du silicium polycristallin C.G.E</u>

L. AMMOR, H. AMZIL et S. MARTINUZZI

Laboratoire de photoélectricité des semiconducteurs. Université d'Aix-Marseille III. Centre Saint Jérôme, rue H. Poincaré, 13397 Marseille cedex, FRANCE.

Résumé :

La répartition des défauts dans le silicium polycristallin étant inchomogène, une étude statistique a été faite sur des diodes mésa contenant des concentrations qui varient entre 3.10^{17} à 2.10^{18} at.cm $^{-3}$. Les longueurs de diffusion $\rm L_n$, les photocourants de court circuit $\rm I_{cc}$ et les phototentions $\rm V_{oc}$ diminuent quand la concentration en carbone augmente et dépasse approximativement la valeur de $\rm 5.10^{17}$ at.cm $^{-3}$. Une corrélation a été établie entre les fortes densités de dislocations, les longueurs totales de joints de grain, la présence de précipités et les concentrations en carbone mesurées par analyse infrarauge.

I. Introduction :

Les différents siliciums polycristallins sont généralement préparés par des méthodes rapides afin d'abaisser le coût de fabrication. Ceci affecte ces matèriaux par de nombreux défauts cristallographiques comme les joints, les sous joints, les dislocations... qui altèrent les propriétés électriques et photovoltaiques 1.

Les méthodes d'élaboration utilisent souvent un contact direct entre un preuset en graphite et le silicium fondu ce qui entraîne la dissolution du carbone dans le silicium en quantité plus ou moins importante suivant le procédé. Ceci se traduit par une dislocation homosphe restant sans conséquence sur les propriétés électriques ou dans le cas extrême une précipitation avec formation de SiC qui créerait des dislocations |2,3|.

De ce fait, les propriétés électriques macroscopiques du matériau peuvent se dégrader quand la concentration dépasse la limite de solubilité | 4,5 | . Cette influence néfaste peut se renforcer si la concentration en oxygène est élevée, entrainant la formation des inclusions de SiC et SiOx qui peuvent être le siège de ségrégation d'impuretés recombinantes | 6,7 | .

II. Méthodes Expérimentales

Le silicium polycristallin étudié est préparé aux laboratoires de Marcoussis C.G.E par une croissance unidirectionnelle sans germe 8. Les lingots de type P sont découpés en plaquettes de 400 ½ m qui sont transformés en photopiles qui sont découpés à leur tour en échantillons 2.1 cm sur lesquelles 12 minidiodes mèsa de 1,5 . 1,5 mm² sont révélées par photolithographie. Les méthodes de mesures des longueurs de diffusion efféctives des éléctrons, des photocourants et phototention ont déja été décrites 9. les densités de dislocation sont comptées par les figures d'attaque revélées à l'emplacement des diodes mèsa par le réactif de SIRTL Les concentrations en carbone et en oxygène sont déterminées par absorption infrarouge différentielle à l'emplacement des diodes. L'existence de précipités a été mise en évidence par microscopie électronique à transmission en haute résolution.

III. Résultats expérimentaux :

Les défauts étant répartis de façon hétérogène dans les échantillons étudiés, nous avons effectué une étude statistique sur un grand nombre d'échantillons. Nous avons verifié que la variation des longueurs de diffusion des éléctrons est inversement proportionnelle à celle de la longueur de joints par unité de surface, et que 1/4 varie comme $N_{\mbox{dis}}$ $|\mbox{10}|$. La faible valeur de l'éxposant 1/4 est certainement due au fait que nous n'avons pas fait de distinction entre les dislocations actives et celles qui ne le sont pas.

L'influence d'un excés de carbone est mise en evidence sur les figures 1 et 2 qui montrent que la longueur de joints par unité de surface $\rm L_j$ et la densité moyenne de dislocation $\rm N_{dis}$ augmentent avec la concentration en carbone. Cette augmentation est particulièrement nette pour $\rm N_{dis}$ quand [C] dépasse 5.10 $^{17} \rm at.cm^{-3}$, tandis que pour des valeurs inférieures à 3.10 $^{17} \rm at.cm^{-3}$, $\rm N_{dis}$ est indépendant de [C], sa valeur étant certainement fixée par les conditions de

préparation des lingots.

Les défauts précèdents affectent bien entendu les longueurs de diffusion, les photocourants et les phototentions et de ce fait le carbone peut agir indirectement sur $L_n,\, I_{\text{SC}}$ et V_{OC} . C'est ce que montrent respectivement les figures 3,4 et 5. La dispersion des résultats expérimentaux qui apparait dans les figures 1,2 et 3 est surteut liée à la répartition hétérogène des défauts, en particulier les dislocations, aux différentes activités recombinantes des défauts révélés à l'emplacement des diodes, et au fait que l'évaluation des dislocations par les figures d'attaque ne donne accès qu'a une partie de lour dencité totale.

Los observations en microscopic électronique ont montré l'existence de précipités de taille approchant les 100 Å et qui n'apparaissent que dans les échantillons les plus chargés en carbone. Si ces précipités sont constitués de SiC, ce qui est une hypothèse tout à fait raisonnable compte tenu de l'évolution observée entre leur densité et la variation de [C], nous pouvons aussi supposer qu'autour den neceiptiée, il y aft une accumulation d'impuretés recombinantes.

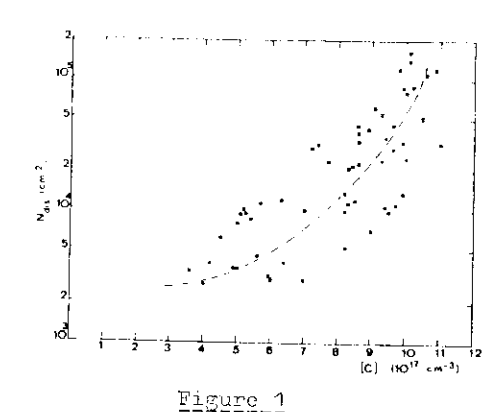
che impureiés pourraient être l'exygène qui dépasse les 10¹⁷ at.em⁻³. Les menures des concentrations en exygène des échantillons étudiés ent montrées que ce sont les échantillons contenant des précipités qui sont les plus chargés en exygène. C'est pourque il est possible de mettre en cause cet élement, comme le suggèrent des récentes publications [7,11]. La rénération de dislocations autour des précipités ou leur décoration par des impuretés recombinantes, leur confère une portée électronique qui dépasse largement leur petite taille.

Conclusion :

Nons avons établi au cours de ce travail, une corrélation entre les densités de dislocations supérieures à $10^3~\rm cm^{-2}$ et les concentrations en carbone supérieures à $5.10^{17} \rm at.cm^{-3}$. L'apparition de précipités est certainement liée à la présence des concentrations élevées en carbone qui dépassent la limite de solubilité. La genération de dislocation à partir de ces précipités ou leur décoration par des impuretés recombinantes leur confère un comportement néfaste vis à vis des propriétés motroreopliques des jenetions N⁺-P.

Réferences

- 1- G. MATHIAN, H. AMZIL and S. MARTINUZZI solid state electronics, 26, 131 (1983).
- 2- S. PIZZINI solar energy materials, 6, 253 (1982).
- 3- B.O. KOBELSEN, A. MUHLBAUER solid state electronics, 25, 759 (1982).
- 4- J.I. HANOKA solar cells, 1, 123 (1979).
- 5- C.V. HARI RAO, H.E. BATES and K.V. RAVI J. of Appl. Phys. 47, 2614 (1976).
- 6- J. LE ROUEILLE
 Phys. stat. sol. (9) 74, K159 (1982).
- 7- P. FRAUNDORF, G.K. FRAUDORF and F. SHIMURA J. App. Phys. 58, 4049 (1985).
- 8- J. FALLY and C. GUENEL Fourth E.C. Photovolaic solar energy conf. stresa, 955 (1982).
- 9- I. AMMOR, thèse de 3ème cycle Marseille (1984).
- 10- H. AMZIL, L. AMMOR and S. MARTINUZZI J. de Phys. 44, C4-415 (1983).
- 11- K.C. YOO and S.M. JOHNSON
 Proc. of 18 th IEEE Photovoltaic spec. conf. Las Vegas 1985.



Variation de la densité de dislocation en fonction de la concentration en carbone dans les diodes mésa.

